## **— НЕОРГАНИЧЕСКИЙ СИНТЕЗ И ТЕХНОЛОГИЯ НЕОРГАНИЧЕСКИХ ПРОИЗВОДСТВ** ——

УДК 546.821; 621.793

# ВЛИЯНИЕ ДОБАВКИ MgO НА СВОЙСТВА БИОАКТИВНЫХ КАЛЬЦИЙ-ФОСФАТНЫХ ТОНКИХ ПЛЕНОК

© Л. П. Борило, Е. С. Лютова\*

Национальный исследовательский Томский государственный университет, 634050, г. Томск, пр. Ленина, д. 36

\* E-mail: lyutova.tsu@mail.ru

Поступила в Редакцию 27 февраля 2019 г. После доработки 20 августа 2019 г. Принята к публикации 20 августа 2019 г.

Получены золь-гель методом из растворов тонкие пленки на основе систем  $SiO_2$ – $P_2O_5$ –CaO и  $SiO_2$ – $P_2O_5$ –CaO–MgO. Исследованы физико-химические процессы, лежащие в основе их получения. Изучен фазовый состав, структура и биологическая активность полученных материалов. Установлено, что для получения кристаллического материала при введении оксида магния в систему  $SiO_2$ – $P_2O_5$ –CaO необходимо увеличение температуры до 800°C, а добавка оксида магния в систему  $SiO_2$ – $P_2O_5$ –CaO улучшает биоактивность материала.

Ключевые слова: тонкая пленка; композиционный материал; золь-гель синтез; кальций-фосфатный материал

DOI: 10.1134/S004446181912003X

В задачи современной медицины и биотехнологии входит не только создание имплантатов, замещающих костные ткани и органы, но и синтез биологически активных материалов, способствующих наиболее полному восстановлению тканей и поддержанию необходимых функций организма. Кальцийфосфатсодержащие биоактивные материалы находят широкое применение для лечения или замены поврежденных или больных тканей [1-4]. Биологически активное поведение этих материалов, которое определяется как способность сращивания костей, связано с образованием апатитоподобного слоя, состав и структура которого эквивалентны минеральной фазе в костной ткани [5-9]. Для биоактивных материалов важную роль играют такие факторы, как химический состав, структура и морфология поверхности.

Для получения желаемых макроскопических или микроскопических свойств необходимо модифицирование материала. Роль щелочноземельных металлов как модификаторов кальций-фосфатных материалов, в частности иона магния, до сих пор плохо изучена. В работе [10] представлены результаты исследований, показывающие возможность применения иона магния для формирования сетки геля в растворе по золь-гель технологии на примере алюмосиликатов. Кроме того, существуют исследования, доказывающие важную роль магния в биологически активных материалах, но их результаты противоречивы. В работе [11] было высказано предположение, что магний непосредственно стимулирует пролиферацию остеобластов. Отрицательно сказывается истощение магния, все стадии скелетного метаболизма, вызывающие прекращение роста костей [12, 13].

В последние годы в медицине находят широкое применение кальций-фосфатные тонкие пленки [14—17]. При разработке и формировании тонких пленок используются различные методы [18, 19], наиболее перспективным для получения биоматериалов является золь-гель метод, так как обеспечивает высокую чистоту продуктов и позволяет снизить энергозатраты. Применение золь-гель метода позволяет влиять на поверхностные свойства материалов, что особенно важно для имплантатов, так как после введения в организм материала биологические процессы происходят на его поверхности.

Целью данной работы являлось установление влияния добавки MgO на свойства кальций-фосфатных тонких пленок, полученных золь-гель методом.

### Экспериментальная часть

Исходные реагенты: этиловый спирт (96%-ный, Россия), тетраэтоксисилан (ос.ч., Германия), ортофосфорная кислота (ос.ч., Химмед, Россия), хлорид кальция (ч.д.а., Химмед, Россия), нитрат магния (ч.д.а., Химмед, Россия).

Растворы для получения материалов по золь-гель технологии готовили растворением хлорида кальция, нитрата магния (в зависимости от состава исходной смеси) в этиловом спирте, затем растворяли тетраэтоксисилан и фосфорную кислоту. Исходная концентрация всех компонентов в смеси составляла  $0.4\ \text{моль}\cdot \pi^{-1}$ . Растворы для приготовления материалов хранили при  $25^{\circ}\mathrm{C}$ .

Известно, что тонкие пленки на основе фосфата кальция, используемые для замены поврежденной костной ткани, характеризуются высокой биосовместимостью и биологической активностью при отношении Ca/P=1.67 [14]. Поэтому для формирования слоя фосфата кальция на поверхности материала для системы  $SiO_2$ – $P_2O_5$ –CaO был выбран состав с массовым соотношением оксидов в системе (мас%): 52  $SiO_2$ , 14  $P_2O_5$ , 34 CaO. Для системы  $SiO_2$ – $P_2O_5$ –CaO–MgO оксид кальция был заменен на оксид магния 5–20 мас%.

Пленки получали на подложках из монокристаллического кремния (модельная подложка) путем центрифугирования при скорости центрифуги 3000 об мин<sup>-1</sup> с последующей термообработкой при 60°C в течение 20 мин и при 600, 800°C в течение 1 ч. Скорость нагрева муфельной печи составляла 14 град мин<sup>-1</sup>. Температурный режим отжига образцов выбирали на основе результатов термического анализа.

Для исследования пленкообразующей способности растворов измеряли их вязкость с использованием

стеклянного вискозиметра (с диаметром капилляра 0.99 мм, при температуре 25°C).

Инфракрасные спектры порошков и растворов были получены с помощью Фурье-спектрометра Nicolet 6700 в области 400–4000 см $^{-1}$ . Термический анализ проводили на анализаторе TGA/DSC/DTA STA 449C Jupiter при линейном нагреве до 1000°C (скорость нагрева 10 град·мин $^{-1}$ ) в потоке воздуха 100 мл·мин $^{-1}$ .

Энергию активации каждой стадии термического разрушения образцов определяли с помощью аппроксимационных методов термографическими и термогравиметрическими измерениями с использованием уравнения Горовица—Метцгера. Рентгенофазовый анализ проводили с использованием дифрактометров Rigaku MiniFlex 600 и Shimadzu XRD-6000 (Си $_{K\alpha}$ -излучение в диапазоне 20 3–120, размер шага 20 0.01–0.02°; время на шаг 0.3–0.5 с) с использованием базы данных PCPDFWIN и JSPDS, а также программы полнопрофильного фазового анализа Powder Cell 2.4.

Структуру и химический состав образцов анализировали методами сканирующей электронной микроскопии (СЭМ), энергодисперсионной рентгеновской спектроскопии (EDX) с помощью электронного микроскопа Hitachi TM-3000 с аксессуаром Quantax-70 для энергодисперсионных микроанализов.

Оценку биологической активности полученных материалов изучали *in vitro*, выдерживая образцы в водном растворе искусственной плазмы крови (SBF) в течение 14 дней. Образцы помещали в модельную среду SBF при постоянной температуре  $37 \pm 0.5$ °C и рН 7.4. Раствор меняли ежедневно в течение 14 дней. Состав раствора SBF приведен в [10].

### Обсуждение результатов

Для получения пленок важна стабильность пленкообразующих растворов во времени. В качестве критерия пленкообразующей способности растворов была взята их вязкость.

Установлено, раствор без введения оксида магния (образец 1) пригоден для получения пленок до 7 сут. В первые двое суток происходит резкое увеличение вязкости до  $3.8~{\rm km}^2\cdot{\rm c}^{-1}$ , в дальнейшем вязкость изменяется незначительно.

При введении иона магния в систему с содержанием 5–20 мас% в первые сутки вязкость имеет значение в интервале от 1.72 до 1.82 мм<sup>2</sup>·с<sup>-1</sup>. На вторые сутки в растворах с содержанием иона магния 5–15 мас% наблюдалось значительное уменьшение вязкости, а на третьи сутки — выпадение белого мелкодисперсного осадка. Раствор с содержанием иона магния 20 мас% (образец 2) устойчив в течение

*Борило Л. П., Лютова Е. С.* 

Показатель	Состав раствора	Время хранения раствора, сут				
		0	2	5	7	13
Вязкость, мм $^2 \cdot c^{-1}$	Система SiO <sub>2</sub> –P <sub>2</sub> O <sub>5</sub> –CaO (образец 1)	1.3	3.8	4.2	4.4	
	Система SiO <sub>2</sub> –P <sub>2</sub> O <sub>5</sub> –CaO–MgO (образец 2)	1.7	1.8	1.7	1.8	1.8
pН	Система SiO <sub>2</sub> -P <sub>2</sub> O <sub>5</sub> -CaO (образец 1)	7.56	7.41	5.26	3.45	_
	Система SiO <sub>2</sub> –P <sub>2</sub> O <sub>5</sub> –CaO–MgO (образец 2)	7.12	6.48	4.21	3.12	2.28

 Таблица 1

 Значения вязкости и рН растворов в зависимости от времени хранения

13 сут, поэтому был выбран для дальнейших исследований. В табл. 1 представлены значения вязкости и рН раствора в зависимости от времени.

В первые двое суток созревания пленкообразующего раствора значения рН исследуемых растворов находятся в слабощелочной области и изменяются в интервале 7.56—7.12. Согласно данным работы Айлера [14] при полимеризации растворов при рН ~7 в присутствии солей при комнатной температуре в растворе содержатся несконденсированные ОН-группы.

При достижении значений вязкости растворов  $4.4 \text{ мм}^2 \cdot \text{c}^{-1}$  рН в системе уменьшается до 3. Это обусловлено тем, что в кислых растворах рост частиц замедляется и начинается процесс образования цепочек, а затем и сеток геля [16, 19].

На основании полученных данных можно выделить три стадии процессов. Сначала в растворе происходят процессы гидролиза и поликонденсации, которые приводят к формированию молекулярной сетки, что влечет за собой резкое изменение вязкости. При введении иона магния происходит незначительное увеличение до  $1.8~\mathrm{km}^2\cdot\mathrm{c}^{-1}$ .

Затем процессы в растворах замедляются, реакции гидролиза и поликонденсации продолжаются, но протекают с малой скоростью в связи с пространственными затруднениями. После накопления в растворе тетра- и петантасилоксанов с концевыми группами ОН вязкость увеличивается вследствие протекания процессов циклизации силоксанов, обусловленных подвижностью связи Si-O [9, 12, 16]. Ортофосфорная кислота приводит к ускорению процессов гидролиза и конденсации за счет увеличения кислотности среды [20]. Катионы Са<sup>2+</sup>, Мg<sup>2+</sup> склонны к образованию малорастворимых соединений и дегидратации поверхностного слоя [20]. Однако введение иона магния в систему замедляет процессы в растворе. Введение электролитов приводит не только к ускорению поликонденсации, но способствует также уменьшению

агрегативной устойчивости коллоидной системы, ускорению процесса перехода золя в гель [12]. В этот период растворы уже непригодны для получения пленок. Экспериментально установлено, что при вязкости пленкообразующих растворов выше 4.4 мм<sup>2</sup>·с<sup>-1</sup> пленки получаются неравномерными и отслаиваются от поверхности подложки.

На рис. 1 представлены ИК-спектры растворов. Пики в области 3322–3326 см<sup>-1</sup> соответствуют колебаниям свободных групп –ОН. В диапазоне 2874–2927 см<sup>-1</sup> фиксируются валентные колебания –СН<sub>3</sub> и –СН<sub>2</sub>—. Валентным колебаниям групп Р=О, –РО<sub>4</sub><sup>3–</sup> соответствуют 1041–1045, 1088 см<sup>-1</sup>. В диапазоне 795–800 см<sup>-1</sup> фиксируются валентные колебания Si–O–Si и в области 877 см<sup>-1</sup> валентные колебания Si–O–H, но и в этом же диапазоне фиксируются связи Мg–O–Mg. В диапазоне 428–436 см<sup>-1</sup> фиксируются деформационные Са–О– колебания, в результате це-

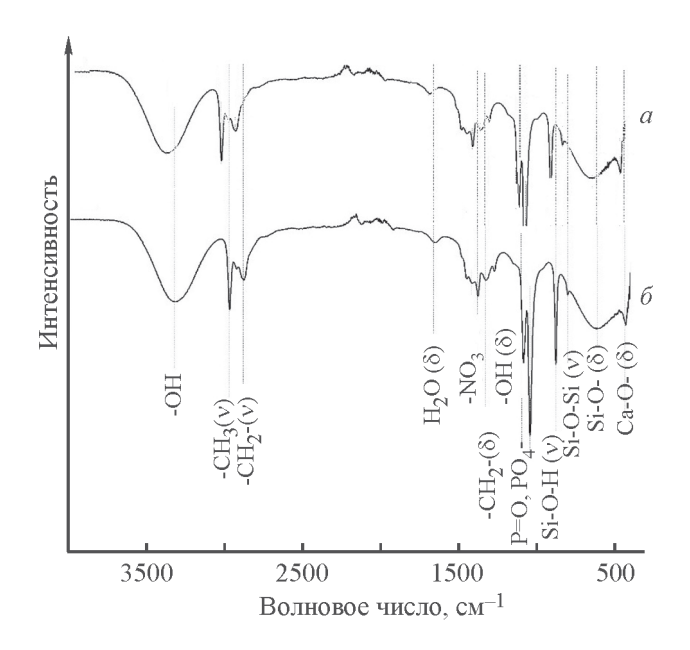
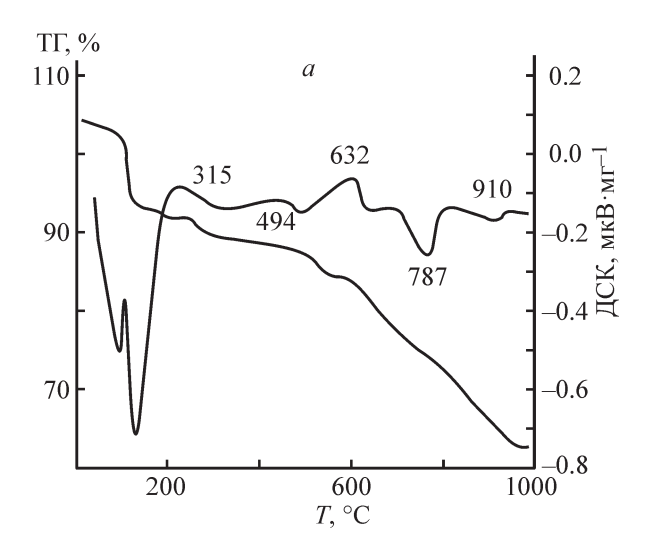


Рис. 1. ИК-спектры растворов  $SiO_2$ – $P_2O_5$ –CaO (*a*),  $SiO_2$ – $P_2O_5$ –CaO–MgO (*б*).



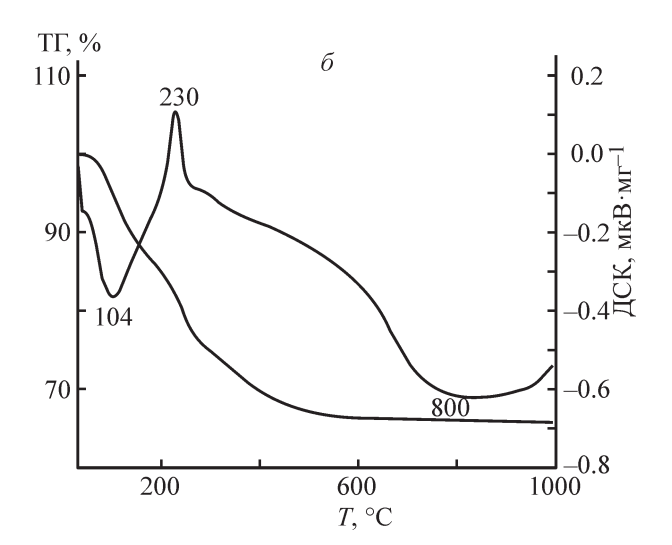


Рис. 2. Данные термического анализа систем SiO<sub>2</sub>–P<sub>2</sub>O<sub>5</sub>–CaO (a), SiO<sub>2</sub>–P<sub>2</sub>O<sub>5</sub>–CaO–MgO (б).

почки  $\equiv$ Si-O-PO<sub>2</sub>-O- сшиваются катионами кальция, стабилизируя силикатный гель и формируя трехмерную структуру. Деформационным колебаниям Si-O-, P-O-P соответствуют колебания в диапазоне 601–603 см<sup>-1</sup> [19, 20].

С использованием термического анализа ксерогелей и рентгенофазового анализа продуктов их термической деструкции можно установить механизм формирования оксидных систем. Метод термического анализа позволяет определять оптимальные температуры синтеза, а рентгенофазовый анализ — состав веществ, образуемых при термолизе ксерогелей.

Независимо от состава системы процесс формирования материалов происходит в три стадии. Данные, представленные на рис. 2, показывают, что термическое разложение образца до 400°C сопровождается уменьшением массы (15%).

До 400°C происходит удаление физически и химически связанной воды. В области температур от 25 до 400°C для системы SiO<sub>2</sub>-P<sub>2</sub>O<sub>5</sub>-CaO наблюдаются три эндотермических эффекта при температурах 102, 124, 315°С; для системы SiO<sub>2</sub>–P<sub>2</sub>O<sub>5</sub>–CaO–MgO — эндотермический и экзотермический эффекты при температурах 104, 230°C. Величина энергии активации  $(E_{\rm a})$  процесса, протекающего в рассматриваемом температурном интервале, составляет 33–35 кДж·моль-1. Такое низкое значение  $E_{\rm a}$  подтверждает разрушение межмолекулярных связей. В области температур 400-600°С происходит сгорание органических остатков, и масса образца изменяется незначительно для образца 1 (система SiO<sub>2</sub>-P<sub>2</sub>O<sub>5</sub>-CaO). При наличии иона  $Mg^{2+}$  в системе вторая стадия сопровождается большим уменьшением массы без температурных эффектов. Эта потеря массы может быть связана с термическим разложением нитратов.

При температурах выше 700°С происходят кристаллизация и полиморфные превращения оксидов в системе. Энергия активации процесса, протекающего в данном температурном интервале, составляет 120−160 кДж·моль<sup>-1</sup>, что характерно для процессов перестройки структуры.

Идентификацию присутствующих в поликристаллическом образце фаз осуществляли с помощью качественного рентгенофазового анализа. Для системы  $SiO_2$ – $P_2O_5$ –CaO при температуре  $600^{\circ}$ С фиксируются  $\beta$ - $Ca_2P_2O_7$ —  $\beta$ -пирофосфат кальция,  $Ca_5(PO_4)_3Cl$ — хлорапатит,  $\alpha$ - $Ca_2SiO_4$ —  $\alpha$ -ортосиликат кальция,  $CaSiO_3$ — волластонит,  $SiO_2$ — (кварц) кристаллический.

Для системы  $SiO_2$ – $P_2O_5$ –CaO–MgO образцы при 600°С являются аморфными. Поэтому необходимо увеличение температуры до 800°С. Обнаружены  $\beta$ -кристобалит  $SiO_2$  и стенфилдит  $Mg_3Ca_3(PO_4)_4$ .

Результаты ИК-спектроскопии образцов при различной температурной обработке 600, 800°C (табл. 2) дополняют результаты термического анализа и РФА.

Наличие валентных колебаний Si–O–Si и деформационых колебаний Si–O– показывает, что эти связи не разрушаются при высоких температурах.

При 600 и 800°С материал формируется за счет кремний- и фосфоркислородных атомных групп (табл. 2), о чем свидетельствует присутствие в ИКспектре полос, характерных для валентных колебаний P=O,  $-PO_4^{3-}$ , деформационных колебаний P=O,  $-PO_4^{3-}$ , деформационных колебаний P=O,  $-PO_4^{3-}$ , деформационных колебаний P=O,  $PO_4^{3-}$ , деформационных колебаний  $PO_4^{3-}$ , деморательных сколебаний  $PO_4^{3-}$ , деморательных сколебаний  $PO_4^{3-}$ , деморательных колебаний  $PO_4^{3-}$ , данных табл. 2 видно, что на частоты колебаний  $PO_4^{3-}$ , деморательных образцах влияет наличие иона  $PO_4^{3-}$ , дамена  $PO_4^{3-}$ , даменила окружение  $PO_4^{3-}$ , деморательных образцах влияет наличие иона  $PO_4^{3-}$ , дамена  $PO_4^{3-}$ , даменила окружение  $PO_4^{3-}$ , деморательных образцах влияет наличие иона  $PO_4^{3-}$ , дамена  $PO_4^{3-}$ , даменила окружение  $PO_4^{3-}$ , деморательных образцах влияет наличие иона  $PO_4^{3-}$ , дамена  $PO_4$ 

*1538* Борило Л. П., Лютова Е. С.

Таблица 2
Результаты ИК-спектроскопии пленок, полученных из пленкообразующих растворов при различных
температурах отжига

	Система SiO <sub>2</sub> -P <sub>2</sub> O <sub>5</sub> -CaO-MgO		Система SiO <sub>2</sub> -P <sub>2</sub> O <sub>5</sub> -CaO	
Колебания (тип)	наличие полос в ИК-спектрах, см <sup>-1</sup> , при температуре, °C			
	800	600	800	600
Валентные колебания Р=О,	1069.7	1084.7	1078.0	1040.1
–PO <sub>4</sub> <sup>3–</sup> -группа	941.2		965.5	929.4
δ(Si–O–Si)	790.2	803.2	788.5	776.4
			681.3	680.9
[SiO <sub>4</sub> ]	_		619.3	622.3
			610.2	592.3
Деформационные колебания SiO-	555.4	560.1	566.6	584.1
			516.2	547.7
			502.0	501.8
[CaO <sub>6</sub> ]	438.0	443.6	472.9	472.9
			457.8	458.3

Si-O (s, asym). Частоты колебаний [SiO<sub>4</sub>] в образце с ионом магния не фиксируются. Деформационные колебания SiO- в основном остаются постоянными и не зависят от наличия иона магния в системе.

Биоактивные свойства зависят от заряда и пористости поверхности материала [9, 10]. В работе были изучены кислотно-основные свойства поверхности образцов, полученных при температуре 60°С и при температуре 600 и 800°С. Независимо от состава исходной системы на поверхности образцов, высу-

шенных при 60°С, преобладают кислотные центры Бренстеда, характеризующиеся значением рН изоточки 4, механизм адсорбции представлен на схеме. Для образцов, отожженных при 600 и 800°С, значение рН изоточки резко увеличивается до 10. Это свидетельствует о том, что образец представляет собой основание Бренстеда, механизм адсорбции представлен на схеме [21]. Этот поверхностный заряд влияет на распределение ионов возле него при погружении в SBF.

Н

Схема механизма взаимодействия молекул воды с различными центрами на поверхности материала

Все синтезированные образцы показывают высокую удельную поверхность ( $S_{yд}$ ) в интервале 159—183 м<sup>2</sup>·г<sup>-1</sup> (табл. 3). Установлено, что замена MgO на СаО снижает удельную поверхность материала. Но в то же время неизменным остается средний размер пор. Только температурная обработка снижает удельную поверхность и увеличивает средний размер пор до 5 нм.

Как известно, во время золь-гель процесса предшественники (алкоксиды) легко взаимодействуют с водой под действием катализатора, гидролизованные соединения связаны в реакциях конденсации и формируют полимерную сетку. По сравнению с традиционным методом плавления золь-гель метод позволяет получить материалы с большей удельной поверхностью и пористостью [20]. Известно, что такие уникальные текстурные свойства придают полученным материалам более высокую биологическую активность, чем у материалов, полученных из расплава.

Таблица 3					
Текступные параметры полученных образ	пов				

Температурная обработка, °С	Состав раствора	Удельная поверхность $S_{yz}$ , $M^2 \cdot \Gamma^{-1}$	Средний размер пор, нм
600	Система SiO <sub>2</sub> –P <sub>2</sub> O <sub>5</sub> –CaO (образец 1)	183	4
	Система SiO <sub>2</sub> –P <sub>2</sub> O <sub>5</sub> –CaO–MgO (образец 2)	179	4
800	Система SiO <sub>2</sub> –P <sub>2</sub> O <sub>5</sub> –CaO (образец 1)	162	5
	Система SiO <sub>2</sub> –P <sub>2</sub> O <sub>5</sub> –CaO–MgO (образец 2)	159	5

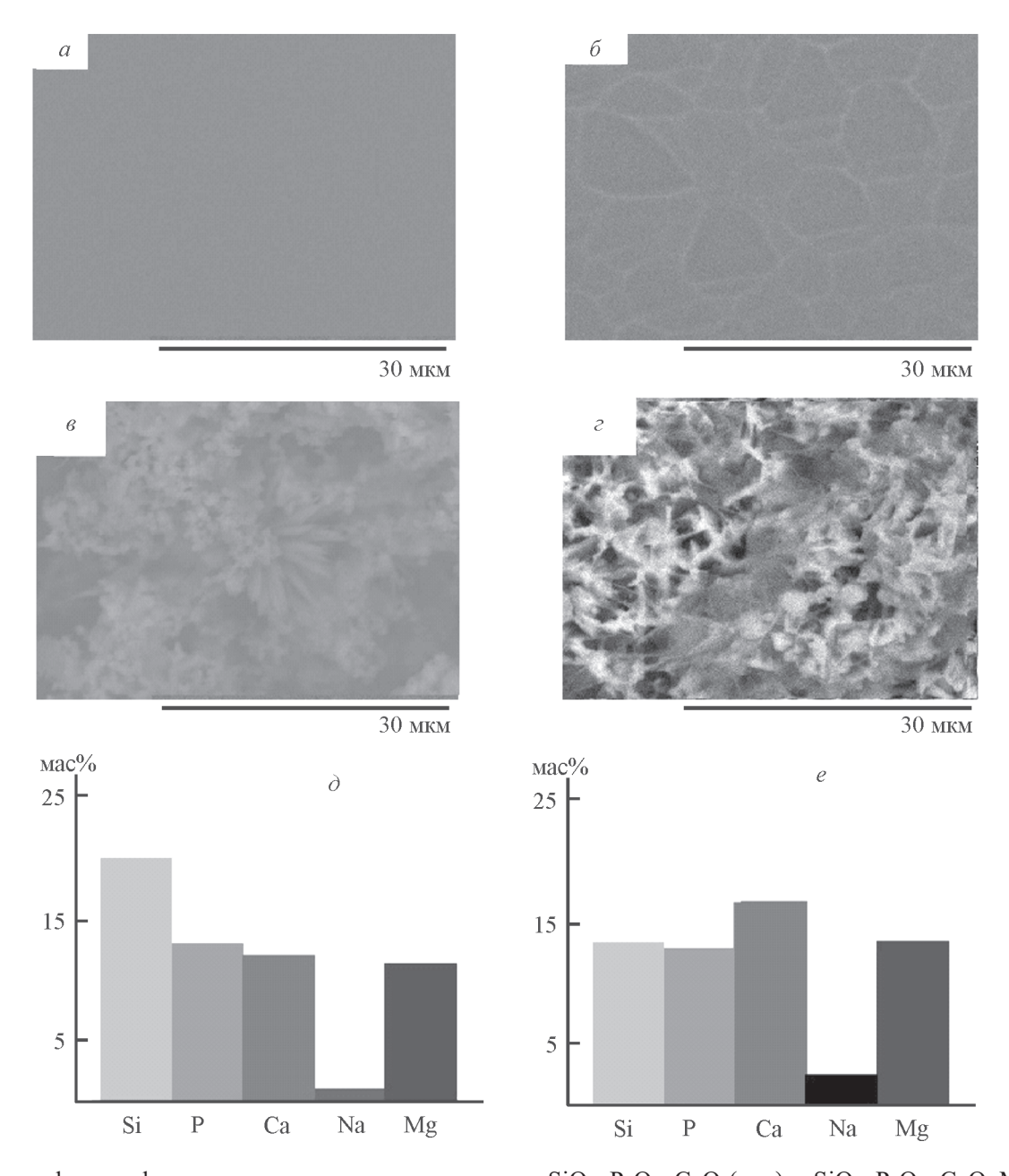


Рис. 3. Микрофотографии поверхности пленок для систем  $SiO_2-P_2O_5$ —CaO  $(a, \epsilon)$  и  $SiO_2-P_2O_5$ —CaO—MgO  $(\delta, \epsilon)$  и элементный состав поверхности пленок для систем  $SiO_2-P_2O_5$ —CaO  $(\partial)$  и  $SiO_2-P_2O_5$ —CaO—MgO (e) до погружения  $(a, \delta)$  и после погружения  $(\epsilon, \epsilon)$  в раствор SBF по результатам микрорентгеноспектрального анализа.

Биологическую активность исследовали в среде SBF (раствор, имитирующий бесклеточную жидкость тела). Так как кремниевая подложка не реагирует с раствором SBF, то с использованием метода центрифугирования были получены пленки на кремниевой подложке (модельная подложка). Пленки независимо от состава получаются равномерные (рис.  $3, a, \delta$ ) с толщиной покрытия для системы  $SiO_2$ – $P_2O_5$ –CaO 86 нм, для системы  $SiO_2$ – $P_2O_5$ –CaO 86 нм, для системы  $SiO_2$ – $P_2O_5$ –CaO 86 нм.

После погружения в раствор SBF на поверхности образцов образуются частицы игольчатой формы с размерами более 30 нм (рис. 3,  $\theta$ ,  $\varepsilon$ ).

Независимо от состава пленки на поверхности образцов наблюдается увеличение концентрации Са и Р после погружения пленки в SBF (рис. 3,  $\partial$ , e). Наличие магния и натрия на поверхности образцов после погружения пленки в раствор SBF свидетельствует об осаждении компонентов раствора SBF на поверхность пленки.

Важную роль играет как абсолютное содержание в покрытии фосфора и кальция, так и их соотношение. Согласно данным микрорентгеноспектрального анализа, в образце 1 отношение Ca/P равно 0.9, а в образце 2 — 1.41. Поэтому введение магния благоприятно влияет на биоактивность материала.

Как только образцы погружали в физиологический раствор, наблюдался стремительный рост рН среды в первые сутки, затем возрастание было не столь существенным (рис. 4).

Увеличение рН создало благоприятные условия для кристаллизации кальций-фосфатного слоя на поверхности материала [5, 15, 20]. Быстрое высвобождение ионов щелочных и щелочноземельных ионов из раствора, а также увеличение рН свидетельствуют о высокой реакционной способности исследуемых образцов.

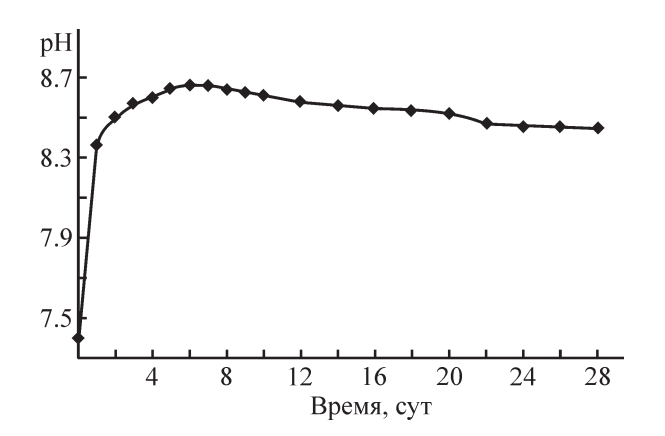


Рис. 4. Динамика изменения pH физиологического раствора с исследуемыми образцами.

Существует несколько стадий полного связывания биологически активного вещества [10, 11]:

1. Быстрый обмен  $Na^+$  и  $Ca^{2+}$  с  $H^+$  или  $H_3O^+$  из раствора:

$$Si-O-Na^+ + H^+ + OH^- = Si-OH + Na+ (водн.) + OH^-,$$

pH раствора увеличивается в результате замены ионов  $H^+$  в растворе катионами.

2. Кремнезем растворяется в виде Si(OH)<sub>4</sub> в результате разрыва связей Si–O–Si и образования Si–OH (силанолов) на границе раздела растворов:

$$Si-O-Si + H_2O = Si-OH + HO-Si$$
.

3. Конденсация и деполимеризация слоя, обогащенного SiO<sub>2</sub>, на поверхности, обедненной щелочами и щелочноземельными катионами.

Образование кальций-фосфатного слоя на биоактивных материалах и миграция растворимого кремния и ионов кальция в окружающие ткани являются ключевыми факторами для быстрой связи этих материалов с тканью.

#### Выводы

Золь-гель методом из пленкообразующих растворов получены кальций-фосфатные пленки с частичным замещением MgO на CaO. Показано, что пригодность растворов для получения из них пленок ограничена значениями вязкости, которые находятся в пределах от 3.8 до 4.4 мм $^2 \cdot c^{-1}$ . Растворы с ионом магния 20 мас% в системе увеличивают стабильность пленкообразующих растворов до 13 сут. Изучены физико-химические процессы формирования материалов, включающие стадии удаления физически и химически связанной воды, сгорания органических остатков, процессов кристаллизации. Установлен фазовый состав и структура полученных пленок. При температуре 600°С и выше фиксируются кристаллические формы  $SiO_2$ ,  $CaSiO_3$ ,  $Ca_2P_2O_7$ , сложные фосфаты. В системе с добавкой иона магния обнаружены β-кристобалит SiO<sub>2</sub> и стенфилдит Mg<sub>3</sub>Ca<sub>3</sub>(PO<sub>4</sub>)<sub>4</sub>, однако кристаллический образец можно получить только при 800°С. Полученные материалы обладают высокой удельной площадью поверхности. Введение MgO не оказывает влияния на структуру полученных материалов. При изучении биоактивности материалов установлено, что введение MgO в систему благоприятно влияет на биосвойства полученных материалов.

### Финансирование работы

Работа выполнена в рамках гранта Президента МК-771.2018.3.

### Конфликт интересов

Авторы заявляют об отсутствии конфликта интересов, требующего раскрытия в данной статье.

### Информация об авторах

*Лютова Екатерина Сергеевна* к.т.н., ORCID: https://orcid.org/0000-0001-8493-4537

*Борило Людмила Павловна*, д.т.н., проф., ORCID: https://orcid.org/0000-0002-9346-2954

### Список литературы

- [1] *Jmal N., Bouaziz J.* Synthesis, characterization and bioactivity of a calcium-phosphate glass-ceramics obtained by the sol-gel processing method // Mater. Sci. and Eng. 2017. N 71. P. 279–288. https://doi.org/10.1016/j.msec.2016.09.058
- [2] *Dorozhkin S. V.* Bioceramics of calcium orthophosphates // Biomaterials. 2010. N 31. P. 1465–1485. https://doi.org/10.1016/j.biomaterials.2009.11.050
- [3] *Matsumoto N., Sato K., Yoshida K., Hashimoto K., Toda Y.* Preparation and characterization of β-tricalcium phosphate co-doped with monovalent and divalent antibacterial metal ions // Acta Biomater. 2009. N 5. P. 3157–3163. https://doi.org/10.1016/j.actbio.2009.04.010
- [4] Owens G. J., Singh R. K., Foroutan F., Alqaysi M., Han C.-M., Mahapatra C., Kim H.-W., Knowles J. C. Sol-gel based materials for biomedical applications // Progress Mater. Sci. 2016. V. 77. N 3. P. 1–79. https://doi.org/10.1016/j.pmatsci.2015.12.001
- [5] Balamurugan A., Balossier G., Michel J., Kannan S., Benhayoune H., Rebelo A. H. S., Ferreira J. M. F. Characterization and in vivo evaluation of sol-gel derived hydroxyapatite coatings on Ti<sub>6</sub>Al<sub>4</sub>V substrates // J. Biomed. Mater. Researcg. Part B: Appl. Biomater. 2007. V. 83. P. 546–553. https://doi.org/10.1002/jbm.b.30682
- [6] Kaur P., Singh K. J., Yadav A. K., Sood H., Kaur S., Kaur R., Arora D. S., Kaur S. Preliminary investigation of the effect of doping of copper oxide in CaO-SiO<sub>2</sub>-P<sub>2</sub>O<sub>5</sub>-MgO bioactive composition for bone repair applications // Mater. Sci. and Eng. C. 2018. V. 83. P. 177–186. https://doi.org/10.1016/j.msec.2017.09.006
- [7] Kapoor S., Goel A., Pascual M. J., Ferreira J. M. F. Alkali-free bioactive diopside-tricalcium phosphate glass-ceramics for scaffold fabrication: Sintering and crystallization behaviours // J. Non-Crystalline Solids. 2016. V. 432. P. 81–89. https://doi.org/10.1016/j.jnoncrysol.2015.05.033
- [8] *Kolmas J., Groszyk E., Kwiatkowska-Rózycka D.* Substituted hydroxyapatites with antibacterial properties // BioMed Research Int. 2014. V. 2014. P. 178123. https://doi.org/10.1155/2014/178123

- [9] *Баринов С. М., Комлев В. С.* Спекание и микроструктура материалов на основе системы фторгидроксиапатит-ZrO<sub>2</sub>-Al<sub>2</sub>O<sub>3</sub> // Неорган. материалы. 2016. Т. 52. С. 339–345. https://doi.org/10.7868/S0002337X16100158 [*Barinov S. M., Komlev V. S.* // Inorg. Mater. 2016. V. 52. N. 4. P. 383–391. https://doi.org/10.1134/S0020168516100150]
- [10] *Hench L. L.* // Mater. Sci. Forum. 1999. N 293. P. 37–64.
- [11] Balamurugan A., Sockalingum G., Michel J., Faurŭ J., Banchet V., Wortham L., Bouthors S., Laurent-Maquin D., Balossier G. Synthesis and characterisation of sol gel derived bioactive glass for biomedical applications // Mater. Lett. 2006. N 60. P. 3752–3757. https://doi.org/10.1016/j.matlet.2006.03.102
- [12] *Кукуева Е. В., Путляев В. И., Тихонов А. А. Сафронова Т. В.* Октакальциевый фосфат как прекурсор для синтеза композитной биокерамики // Неорган. материалы. 2017. Т. 53. № 2. С. 198—205. https://doi.org/10.7868/S0002337X17020063 [*Kukueva E. V., Putlyaev V. I., Tikhonov A. A., Safronova T. V.* Octacalcium phosphate as a precursor for the fabrication of composite bioceramics // Inorg. Mater. 2017. V. 53. N 2. P. 212—219. https://doi.org/10.1007/s10717-017-9931-2].
- [13] Yamaguchi S, Nath S, Matsushita T, Kokubo T. Controlled release of strontium ions from a bioactive Ti metal with a Ca-enriched surface layer // Acta Biomaterialia. 2014. N 10. P. 2282–2289. https://doi.org/10.1016/j.actbio.2014.01.026
- [14] Kolekar T. V., Thorat N. D., Yadav H. M., Magalad V. T., Shinde M. A., Bandgar S. S., Kim J. H., Agawane G. L. Nanocrystalline hydroxyapatite doped with aluminium: A potential carrier for biomedical applications // Ceram. Int. 2016. N 42. P. 5304–531. https://doi.org/10.1016/j.ceramint.2015.12.060
- [15] Li X., Wang M., Deng Y., Xiao Y., Zhang X. Fabrication and properties of Ca-P bioceramic spherical granules with interconnected porous structure // ACS Biomater. Sci. and Eng. 2017. V. 3. N 8. P. 1557–1566. https://doi.org/10.1021/acsbiomaterials.7b00232
- [16] *Bjornoy S. H., Bassett D. C., Ucar S., Andreassen J.-P., Sikorski P. A.* A correlative spatiotemporal microscale study of calcium phosphate formation and transformation within an alginate hydrogel matrix // Acta Biomaterialia.2016. N 44. P. 254–266. https://doi.org/10.1016/j.actbio.2016.08.041
- [17] *Li H.*, *Chang J.* Stimulation of proangiogenesis by calcium silicate bioactive ceramic // Acta Biomaterialia. N 9. P. 5379–5389. https://doi.org/10.1016/j.actbio.2012.10.019
- [18] *Jmal N., Bouaziz J.* Fluorapatite-glass-ceramics obtained by heat treatment of a gel synthesized by the sol-gel processing method // Mater. Sci. and Eng. 2017. N 71. P. 279–288. https://doi.org/10.1016/j.msec.2016.09.058

- [19] *Vijayalakshmi U., Rajeswari S.* Preparation and characterization of microcrystalline hydroxyapatite using sol gel method // Trends Biomater. Artif. Organs. 2006. V. 19. N 2. P. 57–62.
- [20] *Борило Л. П., Петровская Т. С., Лютова Е. С.* Синтез и свойства тонких пленок на основе фаз системы SiO<sub>2</sub>-P<sub>2</sub>O<sub>5</sub>-CaO // Неорган. материалы. 2014. № 8. С. 810–816. https://doi.org/10.7868/S0002337X14080053 [*Borilo L. P., Petrovskaya T. S.*,
- *Lyutova E. S.* Synthesis and properties of thin SiO<sub>2</sub>-P<sub>2</sub>O <sub>5</sub>-CaO films// Inorgan. Mater. 2014. N 8. P. 874–880. https://doi.org/10.1134/S0020168514080056].
- [21] *Borilo L. P., Lyutova E. S., Spivakova L. N.* Study of biological properties of thin-film materials on the basis of the SiO<sub>2</sub>-P<sub>2</sub>O<sub>5</sub>-CaO system// Key Eng. Mater. 2016. N 683. 427–432.
  - https://doi.org/doi:10.4028/www.scientific.net/ KEM.683.427